

**НАЦІОНАЛЬНИЙ ТЕХНІЧНИЙ УНІВЕРСИТЕТ УКРАЇНИ**  
**“КИЇВСЬКИЙ ПОЛІТЕХНІЧНИЙ ІНСТИТУТ”**  
**ФІЗИКО-ТЕХНІЧНИЙ ІНСТИТУТ**  
**КАФЕДРА МАТЕМАТИЧНИХ МЕТОДІВ ЗАХИСТУ ІНФОРМАЦІЇ**

«До захисту допущено»

Завідувач кафедри

\_\_\_\_\_  
М. М. Савчук

“ \_\_\_\_\_ ” (підпис) (ініціали, прізвище) \_\_\_\_\_ 2015 р.

**Дипломна робота**

освітньо-кваліфікаційного рівня “бакалавр”

з напрямку підготовки 6.040301 «Прикладна математика»  
на тему «Розробка автоматизованого тестуючого комплексу,  
що враховує психологічні особливості студентів»

Виконав: студент 4 курсу групи ФІ-13

Кригін Валерій Михайлович

Керівник д-р ф.-м. наук, професор Дороговцев Андрій Анатолійович

Рецензент к. т. н., доцент Головенкін Володимир Павлович

\_\_\_\_\_  
(підпис)

\_\_\_\_\_  
(підпис)

\_\_\_\_\_  
(підпис)

Засвідчую, що у цій дипломній роботі  
немає запозичень з праць інших авторів  
без відповідних посилань.

Студент \_\_\_\_\_

Київ — 2015 року

## ЗМІСТ

1 Вступ . . . . .	3
1.1 Обґрунтування та актуальність роботи . . . . .	3
1.2 Мета та завдання . . . . .	3
2 Основна частина . . . . .	4
2.1 Теоретичні відомості . . . . .	4
2.1.1 Метод головних компонент . . . . .	4
2.1.2 Гістограма . . . . .	7
2.1.3 Критерій узгодженості Пірсона $\chi^2$ . . . . .	8
2.1.4 Типи вищої нервової діяльності . . . . .	14
2.1.5 Теппінг-тест (Tapping rate) . . . . .	15
2.2 Моделювання. . . . .	18
2.2.1 Процес Пуассона. . . . .	18
2.2.2 Квадратична апроксимація методом найменших квадратів. . . . .	19
2.2.3 Аналіз квадратичної апроксимації . . . . .	22
Перелік посилань . . . . .	24
Додаток А . . . . .	25

## **1 ВСТУП**

### **1.1 Обґрунтування та актуальність роботи**

Існуючі на даний момент системи тестування недостатньо гнучкі: вони аналізують лише відповіді на запитання, відносячи їх до вірних або невірних, а на цій базі роблять кінцевий висновок щодо знань студента. Стрімкий розвиток комп'ютерної техніки й інформаційних технологій надає можливість визначати ритм складання тесту, а також індивідуальні особливості людини. Дані психологічних досліджень допоможуть правильно трактувати отримані значення, а добре вивчені та перевірені часом математичні методи надають великі можливості для систематизації та обробки результатів вимірювання.

### **1.2 Мета та завдання**

Завдання наступні:

- 1) Вивчити математичні методи та розділи психології, що дозволять розв'язати поставлену задачу, пояснити та обґрунтувати отримані результати
- 2) Ознайомитися з правилами побудови тестових завдань для найбільш ефективною та об'єктивною процедури оцінки знань студентів
- 3) Розробити програмний комплекс тестування й обробки результатів
- 4) Моделювання

За мету поставлено збільшення об'єктивності тестування, а також покращення якості навчання за допомогою порад студентам і викладачам практичних занять.

## 2 ОСНОВНА ЧАСТИНА

### 2.1 Теоретичні відомості

#### 2.1.1 Метод головних компонент

Метод головних компонент (Principal component analysis) — метод, що дозволяє зменшити розмірність досліджуваної вибірки з мінімальними втратами інформації. [1]

Маємо  $m$  об'єктів, з яких треба зняти по  $n$  певних властивостей. На вході в нас є виборки  $\vec{X}_k$ , кожна з яких відповідає сукупності властивостей  $k$ -го об'єкту

$$\vec{X}_k = \begin{bmatrix} x_k^1 \\ x_k^2 \\ \vdots \\ x_k^n \end{bmatrix}, \quad k = \overline{1, m}$$

Згрупуємо всі вимірювання в одну матрицю  $X$

$$X = \begin{bmatrix} x_1^1 & x_2^1 & \dots & x_m^1 \\ x_1^2 & x_2^2 & \dots & x_m^2 \\ \vdots & \vdots & \ddots & \vdots \\ x_1^n & x_2^n & \dots & x_m^n \end{bmatrix}$$

Спочатку нам знадобиться знайти вибіркові середні значення для кожної властивості

$$a_i = \frac{1}{m} \cdot \sum_{k=1}^m x_k^i, \quad i = \overline{1, n}$$

Маємо вектор вибірових середніх значень

$$\vec{a} = \begin{bmatrix} a_1 \\ a_2 \\ \vdots \\ a_n \end{bmatrix}$$

Центруємо отримані дані, що містяться в матриці  $X$ , віднявши від кожного стовбця вектор вибірових середніх  $\vec{a}$

$$\tilde{X} = \begin{bmatrix} \tilde{x}_1^1 & \tilde{x}_2^1 & \dots & \tilde{x}_m^1 \\ \tilde{x}_1^2 & \tilde{x}_2^2 & \dots & \tilde{x}_m^2 \\ \vdots & \vdots & \ddots & \vdots \\ \tilde{x}_1^n & \tilde{x}_2^n & \dots & \tilde{x}_m^n \end{bmatrix} = \begin{bmatrix} x_1^1 - a_1 & x_2^1 - a_1 & \dots & x_m^1 - a_1 \\ x_1^2 - a_2 & x_2^2 - a_2 & \dots & x_m^2 - a_2 \\ \vdots & \vdots & \ddots & \vdots \\ x_1^n - a_n & x_2^n - a_n & \dots & x_m^n - a_n \end{bmatrix}$$

Обчислюємо вибірову коваріаційну матрицю властивостей. Вибіркову коваріацію  $i$  та  $j$  властивості рахуємо за формулою

$$\sigma_i^j = \frac{1}{m} \cdot \sum_{k=1}^m \tilde{x}_k^i \cdot \tilde{x}_k^j = \frac{1}{m} \cdot \sum_{k=1}^m \left[ (x_k^i - a_i) \cdot (x_k^j - a_j) \right], \quad i, j = \overline{1, n}$$

Маємо вибірову коваріаційну матрицю

$$K = \begin{bmatrix} \sigma_1^1 & \sigma_1^2 & \dots & \sigma_1^n \\ \sigma_2^1 & \sigma_2^2 & \dots & \sigma_2^n \\ \vdots & \vdots & \ddots & \vdots \\ \sigma_n^1 & \sigma_n^2 & \dots & \sigma_n^n \end{bmatrix}$$

Щоб отримувати лише потрібну інформацію, ми хочемо знайти таке ортогональне лінійне перетворення  $L$  вхідної матриці  $\tilde{X}$ , щоб отримати матрицю

$Y = L \cdot \tilde{X}$ , яка має діагональну вибірку коваріаційну матрицю  $K'$  з незростаючими зверху вниз значеннями. Діагональна вибірка коваріаційна матриця гарантує той факт, що отримані значення  $Y$  будуть некорельованими. Рангування значень діагональних елементів матриці  $K'$  за величиною дасть більш наочне уявлення про будову досліджуваних об'єктів, адже діагональні елементи — вибірккові дисперсії. Чим більше дисперсія, тим більше відповідна властивість змінюється від об'єкту до об'єкту, і тим більше корисної інформації вона нам надає.

Вибіркова коваріаційна матриця  $K'$  для  $Y = L \cdot \tilde{X}$  має вигляд

$$K' = L \cdot K \cdot L^* = \begin{bmatrix} \lambda_1 & 0 & \dots & 0 \\ 0 & \lambda_2 & \dots & 0 \\ \vdots & \vdots & \ddots & \vdots \\ 0 & 0 & \dots & \lambda_n \end{bmatrix}$$

З лінійної алгебри відомо, що матриця  $L$  складається з координат власних векторів матриці  $K$ , а елементи  $\lambda_k$  — її власні числа, які існують і є невід'ємними через невід'ємну означеність матриці  $K$ . Вважаємо, що числа  $\lambda_1, \dots, \lambda_n$  впорядковані від більшого до меншого для зручності подальших дій. Позначимо власний вектор матриці  $K$ , що відповідає власному числу  $\lambda_k$ , як  $\vec{l}_k$ . Тоді

$$\vec{l}_k = [l_k^1, l_k^2, \dots, l_k^n], \quad k = \overline{1, n}$$

Матриця  $L$  має вигляд

$$L = \begin{bmatrix} l_1^1 & l_1^2 & \dots & l_1^n \\ l_2^1 & l_2^2 & \dots & l_2^n \\ \vdots & \vdots & \ddots & \vdots \\ l_n^1 & l_n^2 & \dots & l_n^n \end{bmatrix}$$

Треба зменшити розмірність простору досліджуваних параметрів системи з  $n$  до  $p < n$ , але при цьому втратити якомога менше відомостей про досліджувані об'єкти. Введемо міру інформації, що залишається при зменшенні кількості компонент, що розглядаються

$$I = \frac{\lambda_1 + \dots + \lambda_p}{\lambda_1 + \dots + \lambda_n}$$

Будемо вважати, що діємо продуктивно, тому починаємо обирати з перших компонент, адже саме вони є найбільш інформативними. Також бачимо, що інформативність змінюється в межах від 0 (нічого не дізнаємось) до 1 (зберегли усю інформацію).

Надалі буде розглядатися матриця головних компонент  $Y$

$$Y = \begin{bmatrix} y_1^1 & y_2^1 & \dots & y_m^1 \\ y_1^2 & y_2^2 & \dots & y_m^2 \\ \vdots & \vdots & \ddots & \vdots \\ y_1^p & y_2^p & \dots & y_m^p \end{bmatrix}$$

### 2.1.2 Гістограма

Для подальшого аналізу потрібно здобути щільність розподілу головних компонент. Оскільки маємо справу з вибіркою і вибірковими характеристиками, потрібно побудувати гістограму, адже це і є вибіркова характеристика, що відповідає щільності.

Побудуємо  $j$ -й стовбець гістограми для виборки з  $k$ -ї строки матриці  $Y$

$$h_j^k = \frac{1}{m} \cdot \sum_{i=1}^m \mathbb{1}(y_i^k \in I_j^k), \quad j = \overline{1, N}, \quad k = \overline{1, p}$$

де  $I^k$  — набір напівінтервалів, що розбиває відрізок  $\left[ \min_{i=\overline{1, m}} y_i^k; \max_{i=\overline{1, m}} y_i^k \right]$  на  $N$

рівних частин. Для вибору  $N$  можна скористатися досить відомою формулою Стюрджеса (Sturges' formula) [2]

$$N = \lfloor \log_2 m \rfloor + 1$$

Маємо матрицю гістограм

$$H = \begin{bmatrix} h_1^1 & h_2^1 & \dots & h_N^1 \\ h_1^2 & h_2^2 & \dots & h_N^2 \\ \vdots & \vdots & \ddots & \vdots \\ h_1^p & h_2^p & \dots & h_N^p \end{bmatrix}$$

і напівінтервалів, що відповідають кожному стовбчику кожної гістограми

$$I = \begin{bmatrix} I_1^1 & I_2^1 & \dots & I_N^1 \\ I_1^2 & I_2^2 & \dots & I_N^2 \\ \vdots & \vdots & \ddots & \vdots \\ I_1^p & I_2^p & \dots & I_N^p \end{bmatrix}$$

### 2.1.3 Критерій узгодженості Пірсона $\chi^2$

Гістограма може використовуватися не тільки для графічної інтерпретації отриманих даних, але й для віднесення вибірки до якогось відомого розподілу. Відповідь на питання “Чи дійсно вибірка  $y_1^k, \dots, y_m^k$  має розподіл  $F^k$ ?” може надати критерій узгодженості Пірсона.

Розглянемо вектор

$$\eta^k = \left[ \frac{\nu_1^k - m \cdot \rho_1^k}{\sqrt{m \cdot \rho_1^k}}, \dots, \frac{\nu_N^k - m \cdot \rho_N^k}{\sqrt{m \cdot \rho_N^k}} \right]$$



Знайдемо його характеристичну функцію

$$\varphi_{\eta^k}(\lambda) = \mathbb{M} e^{i \cdot (\lambda, \eta^k)}, \quad \lambda \in \mathbb{R}^N$$

Для зручності перепозначимо індикатор

$$\mathfrak{I}_{i,j}^k = \mathbb{1}\{y_i^k \in I_j^k\}$$

Подивимось, чому дорівнює скалярний добуток в експоненті

$$\begin{aligned} (\lambda, \eta^k) &= \sum_{j=1}^N \lambda_j \cdot \frac{\nu_j^k - m \cdot \rho_j^k}{\sqrt{m \cdot \rho_j^k}} = \sum_{j=1}^N \frac{\lambda_j}{\sqrt{m \cdot \rho_j^k}} \cdot \sum_{i=1}^m (\mathfrak{I}_{i,j}^k - \rho_j^k) = \\ &= \sum_{j=1}^N \sum_{i=1}^m \frac{\lambda_j}{\sqrt{m \cdot \rho_j^k}} \cdot (\mathfrak{I}_{i,j}^k - \rho_j^k) = \sum_{i=1}^m \sum_{j=1}^N \lambda_j \cdot \frac{\mathfrak{I}_{i,j}^k - \rho_j^k}{\sqrt{m \cdot \rho_j^k}} \end{aligned}$$

Бачимо суму  $m$  незалежних однаково розподілених випадкових величин. Введемо позначення

$$\mathfrak{I}_j^k = \mathbb{1}\{y_1^k \in I_j^k\}$$

А також позначимо новий випадковий вектор

$$\zeta^k = \left[ \frac{\mathfrak{I}_1^k - \rho_1^k}{\sqrt{m \cdot \rho_1^k}}, \dots, \frac{\mathfrak{I}_N^k - \rho_N^k}{\sqrt{m \cdot \rho_N^k}} \right]$$

Тоді скалярний добуток прийме вигляд

$$(\lambda, \eta^k) = \sum_{i=1}^m \sum_{j=1}^N \lambda_j \cdot \zeta_j^k = \sum_{i=1}^m (\lambda, \zeta^k) = m \cdot (\lambda, \zeta^k)$$

За рахунок незалежності випадкових величин  $\zeta_j^k$  маємо

$$\varphi_{\eta^k}(\lambda) = \mathbb{M} e^{i \cdot (\lambda, \eta^k)} = \mathbb{M} e^{m \cdot i \cdot (\lambda, \zeta^k)} = \left( \mathbb{M} e^{i \cdot (\lambda, \zeta^k)} \right)^m \quad (2.1)$$

Розглянемо характеристичну функцію випадкового вектора  $\zeta^k$

$$\varphi_{\zeta^k}(\lambda) = \mathbb{M} \left[ \exp \left\{ i \cdot \sum_{j=1}^N \lambda_j \cdot \zeta_j^k \right\} \right] \quad (2.2)$$

Легко побачити, що

$$\begin{aligned} (\lambda, \zeta^k) &= \sum_{j=1}^N \lambda_j \cdot \zeta_j^k = \sum_{j=1}^N \lambda_j \cdot \frac{\mathfrak{I}_j^k - \rho_j^k}{\sqrt{m \cdot \rho_j^k}} = \sum_{j=1}^N \left( \frac{\lambda_j}{\sqrt{m \cdot \rho_j^k}} \cdot \mathfrak{I}_j^k - \frac{\sqrt{\rho_j^k} \cdot \lambda_j}{\sqrt{m}} \right) = \\ &= \sum_{j=1}^N \mathfrak{I}_j^k \cdot \left( \frac{\lambda_j}{\sqrt{m \cdot \rho_j^k}} - \sum_{l=1}^N \frac{\sqrt{\rho_l^k} \cdot \lambda_l}{\sqrt{m}} \right) \end{aligned}$$

Тобто характеристична функція (2.2) приймає вигляд

$$\varphi_{\zeta^k}(\lambda) = \mathbb{M} \left[ \sum_{j=1}^N \mathfrak{I}_j^k \cdot \exp \left\{ \frac{i}{\sqrt{m}} \left( \frac{\lambda_j}{\sqrt{\rho_j^k}} - \sum_{l=1}^N \sqrt{\rho_l^k} \cdot \lambda_l \right) \right\} \right]$$

Перепознаємо вираз в круглих дужках

$$\mathfrak{z}^k = \frac{\lambda_j}{\sqrt{\rho_j^k}} - \sum_{l=1}^N \sqrt{\rho_l^k} \cdot \lambda_l$$

Математичне очікування індикатора — ймовірність події, яку він перевіряє. Отже

$$\varphi_{\zeta^k}(\lambda) = \sum_{j=1}^N \rho_j^k \cdot \exp \left\{ \frac{i \cdot \mathfrak{z}^k}{\sqrt{m}} \right\}$$

Якщо розмір вибірки  $m$  буде зростати, то характеристична функція  $\eta^k$  (2.1) буде поводитись наступним чином

$$\begin{aligned} \lim_{m \rightarrow \infty} \varphi_{\eta^k}(\lambda) &= \lim_{m \rightarrow \infty} \left( 1 + \sum_{k=1}^N p_k \cdot \left[ \exp \left\{ \frac{i \cdot \mathfrak{z}^k}{\sqrt{m}} \right\} - 1 \right] \cdot \frac{m}{m} \right)^m = \\ &= \lim_{m \rightarrow \infty} \exp \left\{ m \cdot \sum_{k=1}^N p_k \cdot \left[ \exp \left\{ \frac{i \cdot \mathfrak{z}^k}{\sqrt{m}} \right\} - 1 \right] \right\} \end{aligned}$$

Для  $\exp \left\{ \frac{i \cdot \mathfrak{z}^k}{\sqrt{m}} \right\}$  використаємо співвідношення

$$e^\alpha - 1 \approx \alpha + \frac{\alpha^2}{2}, \quad \alpha \ll 1$$

Маємо

$$\begin{aligned} \sum_{j=1}^N \rho_j^k \cdot \frac{i \cdot \mathfrak{z}^k}{\sqrt{m}} &= \sum_{j=1}^N \rho_j^k \cdot \frac{i}{\sqrt{m}} \cdot \left( \frac{\lambda_j}{\sqrt{\rho_j^k}} - \sum_{l=1}^N \sqrt{\rho_l^k} \cdot \lambda_l \right) = \\ &= \frac{i}{\sqrt{m}} \cdot \left( \sum_{j=1}^N \sqrt{\rho_j^k} \cdot \lambda_j - \sum_{l=1}^N \sqrt{\rho_l^k} \cdot \lambda_l \right) = 0, \\ \sum_{j=1}^N \rho_j^k \cdot \left( \frac{i \cdot \mathfrak{z}^k}{\sqrt{m}} \right)^2 &= - \sum_{j=1}^N \frac{\rho_j^k}{m} \cdot \left( \frac{\lambda_j}{\sqrt{\rho_j^k}} - \sum_{l=1}^N \sqrt{\rho_l^k} \cdot \lambda_l \right)^2 = \\ &= -\frac{1}{m} \cdot \left[ \sum_{j=1}^N \lambda_j - \left( \sum_{l=1}^N \sqrt{\rho_l^k} \cdot \lambda_l \right)^2 \right] \end{aligned}$$

Тому

$$\begin{aligned} \lim_{m \rightarrow \infty} \varphi_{\eta^k}(\lambda) &= \lim_{m \rightarrow \infty} \exp \left\{ -\frac{m}{m \cdot 2} \cdot \left[ \sum_{j=1}^N \lambda_j - \left( \sum_{l=1}^N \sqrt{\rho_l^k} \cdot \lambda_l \right)^2 \right] \right\} = \\ &= \exp \left\{ -\frac{1}{2} \cdot \left[ \sum_{j=1}^N \lambda_j - \left( \sum_{l=1}^N \sqrt{\rho_l^k} \cdot \lambda_l \right)^2 \right] \right\} = e^{-\frac{1}{2} \cdot (A^k \lambda, \lambda)} \end{aligned}$$

Матриця  $A^k$  побудована наступним чином

$$A^k = \left\| \delta_{ij} - \sqrt{\rho_i^k} \cdot \sqrt{\rho_j^k} \right\|_{i=1}^n$$

Симетричність матриці очевидна, тому треба довести її невід'ємну визначеність, щоб стверджувати, що вона є коваріаційною. Для цього візьмемо вектор

$$e^k = \left[ \sqrt{\rho_1^k}, \dots, \sqrt{\rho_N^k} \right], \quad \|e^k\| = 1$$

Тоді бачимо, що

$$(A^k \lambda, \lambda) = \|\lambda\|^2 - (\lambda, e^k)^2 \quad (2.3)$$

З нерівності Коші маємо

$$\|(\lambda, e^k)\| \leq \|\lambda\| \cdot \|e^k\| = \|\lambda\|$$

Тобто матриця є дійсно невід’ємно визначеною і вектор  $\eta^k$  розподілений за нормальним законом з нульовим середнім і коваріаційною матрицею  $A^k$ .

Для подальших розрахунків розглянемо стандартний гаусівський вектор як суму випадкових нормально розподілених випадкових величин в стандартному базисі  $\mathbb{R}^N$ , який позначимо  $[e_1, \dots, e_N]$

$$\xi = \sum_{j=1}^N \xi_j \cdot e_j \sim N(\vec{0}, I)$$

Згадаємо, що ортогональні перетворення  $U$  зберігають відстані, а також справедливо наступне

$$U\xi \sim N(0, UIU^{-1}) \sim N(\vec{0}, I)$$

Також ортонормований базис залишається ортонормованим базисом після ортогонального перетворення  $U$ . Оберемо такий оператор  $U$ , щоб набір  $[e_1, \dots, e_N]$  під його дією перетворився на  $[f_1, \dots, f_N]$ , де

$$f_1 = e^k = \left[ \sqrt{\rho_1^k}, \dots, \sqrt{\rho_N^k} \right]$$

Тоді маємо вектор

$$U\xi = \hat{\xi} = \sum_{j=1}^N \hat{\xi}_j \cdot f_j \sim N(\vec{0}, I)$$

Подивимось, який розподіл має наступний вектор

$$\Upsilon = \sum_{j=2}^N \hat{\xi}_j \cdot f_j = \hat{\xi} - \hat{\xi}_1 \cdot e^k$$

Для цього розглянемо квадратичну форму

$$M(\Upsilon, \lambda)^2 = \sum_{j=2}^N (\lambda, f_j)^2 = \sum_{j=1}^N (\lambda, f_j)^2 - (\lambda, f_1)^2 = \|\lambda\|^2 - (\lambda, e^k)^2 = (A^k \lambda, \lambda)$$

З рівності (2.3) бачимо, що випадкові вектори  $\eta^k$  та  $\Upsilon$  мають однаковий розподіл. Отже, розподіли їх норм теж співпадають. Оскільки сума  $N - 1$  квадратів

незалежних стандартних гаусових випадкових величин має розподіл Пірсона з  $N - 1$  ступенями вільності

$$\|\Upsilon\|^2 = \sum_{j=2}^N \xi_j^2 \sim \chi_{N-1}^2$$

Маємо

$$\|\eta^k\| = \sum_{j=1}^N \frac{(\nu_j^k - m \cdot \rho_j^k)^2}{m \cdot \rho_j^k} = m \cdot \sum_{j=1}^N \frac{(h_j^k - \rho_j^k)^2}{\rho_j^k} \sim \chi_{N-1}^2$$

Останнє співвідношення дає змогу перевіряти належність виборки  $y_1^k, \dots, y_m^k$  до розподілу  $F^k$ . Перевірка виглядає наступним чином.

Розглянемо випадкову величину

$$R^k = m \cdot \sum_{j=1}^N \frac{(h_j^k - \rho_j^k)^2}{\rho_j^k} \quad (2.4)$$

Обираємо рівень значущості  $\alpha$  для функції розподілу  $\chi_{N-1}^2$  і шукаємо відповідне до кількості ступенів вільності  $r_\alpha$ . Рівень значущості — ймовірність помилки першого роду, тобто ймовірність того, що буде відкинута вірна гіпотеза

$$\mathbb{P}(\chi_{N-1}^2 \geq r_\alpha) = \alpha$$

Якщо  $R^k \leq r_\alpha$ , то гіпотеза про те, що вибірка  $Y^k$  дійсно має розподіл  $F^k$ , приймається.

Розглянемо той випадок, коли ймовірність  $\rho_i^k$  відгадана невірно. Повернемося до формули (2.4)

$$R^k = \sum_{j=1}^N \frac{(\nu_j^k - m \cdot \rho_j^k)^2}{m \cdot \rho_j^k}$$

Всі члени суми є невід'ємними. Якщо хоча б один елемент буде завеликим, то великою буде вся сума. Маємо випадкову величину  $\eta$

$$\eta = \nu_i^k - m \cdot \rho_i^k = \sum_{j=1}^m (\xi_j - \rho_i^k), \quad \mathbb{1}(y_j^k \in I_i^k) = \xi_j$$

Якщо  $\rho_i^k$  вгадано невірно, то воно не дорівнює математичному очікуванню індикатора. Додамо та віднімемо справжнє математичне очікування

$$\eta = \sum_{j=1}^m (\xi_j - M \xi_1 + M \xi_1 - \rho_i^k) = \sum_{j=1}^m (\xi_j - M \xi_1) + \sum_{j=1}^m (M \xi_1 - \rho_i^k)$$

Останній доданок є просто різницею, помноженою на  $m$

$$\eta = \sum_{j=1}^m (\xi_j - M \xi_1) + m \cdot (M \xi_1 - \rho_i^k)$$

Поділимо на  $\sqrt{m}$ , щоб скористатися центральною граничною теоремою

$$\frac{\eta}{\sqrt{m}} = \frac{1}{\sqrt{m}} \cdot \sum_{j=1}^m (\xi_j - M \xi_1) + \frac{1}{\sqrt{m}} \cdot m \cdot (M \xi_1 - \rho_i^k)$$

Перший доданок асимптотично має розподіл  $N(0, \sigma^2)$ , де  $\sigma^2$  — дисперсія випадкової величини  $\xi_1$  для достатньо великих  $m$ . Отже, вся сума зростає пропорційно до  $\sqrt{m}$

$$\frac{\eta}{\sqrt{m}} = \frac{1}{\sqrt{m}} \cdot \sum_{j=1}^m (\xi_j - M \xi_1) + \sqrt{m} \cdot (M \xi_1 - \rho_i^k) \sim \sqrt{m} \cdot (M \xi_1 - \rho_i^k)$$

Тобто зараз  $R^k$  буде зростати пропорційно до величини  $m$ , і буде великим у порівнянні з  $r_\alpha$ , що призведе до відхилення невірної гіпотези.

### 2.1.4 Типи вищої нервової діяльності

Для визначення того, які показники вимірювати і яким чином, скористуємось відомою класифікацією типів вищої нервової діяльності.

Згідно з Павловим[3] типи вищої нервової діяльності характеризуються трьома показниками: сила нервової системи (сильна або слабка), врівноваженість (врівноважена або неврівноважена) та рухливість (рухлива або інертна). Павлов розглядає 4 комбінації цих показників з 8 можливих:

- 1) Слабка
- 2) Сильна та неврівноважена
- 3) Сильна, врівноважена та інертна
- 4) Сильна, врівноважена та рухлива

Далі ці класи (комбінації) будуть називатися відповідно слабкий, неврівноважений, інертний та рухливий.

### 2.1.5 Теппінг-тест (Tapping rate)

Існують відомі залежності між типом вищої нервової діяльності та зміною максимального темпу рухів кистю руки з часом. Протягом 30 секунд людина намагається притримуватися максимально можливого для себе темпу. Показники темпу фіксуються через кожні 5 секунд, а далі по 6 отриманим точкам будується крива темпа руху. [4]

Для тесту можна використовувати ручку (олівець) і папір, або телеграф. Сучасні технології дозволяють проводити тест за допомогою клавіатури комп'ютера або екрану планшета.

З олівцем і папіром тест поводитьсь наступним чином:

- 1) На папері креслиться 6 квадратів
- 2) Людина починає ставити якомога більше точок в першому квадраті впродовж перших 5 секунд
- 3) Коли проходить 5 секунд, потрібно перейти до наступного квадрату і ставити точки там
- 4) Процедура повторюється до тих пір, доки не пройде 30 секунд — в кінці буде заповнено всі 6 квадратів

Далі підраховується кількість точок в кожному квадраті та малюється ламана, де горизонтальна вісь відповідає номеру часового проміжку (номеру квадрата),

а вертикальна відповідає кількості точок в квадраті.

Трактуються отримані дані наступним чином:

- 1) Спадна ламана відповідає слабкому типу (рис. 2.1д). Вона спадає після перших 5 секунд тесту і не повертається до початкового рівня
- 2) Ламана, що спочатку зростає, а після 10-15 секунд спадає нижче початкового рівня (проміжна між рівною та опуклою) відповідає неврівноваженому типу (рис. 2.1б).
- 3) Ввігнута ламана відповідає інертному типу (рис. 2.1г). Вона спочатку спадає, а на 25-30 секундах може зрости до початкового темпу
- 4) Опукла ламана відповідає рухливому типу (рис. 2.1а). Це така ламана, що зростає в перші 10-15 секунд тесту, а після 25-30 секунд повертається або падає нижче початкового рівня
- 5) Також темп може залишатися приблизно на одному рівні протягом усього тесту, що є оптимальним для складання іспитів (рис. 2.1в).

Достовірним відхиленням достатньо вважати різницю в два і більше натиснення між двома сусідніми п'ятисекундними проміжками. [4]

Оскільки цей тест заснований на вимірюванні витривалості нервової системи людини за умови максимального навантаження та перевіряє темп реагування (натиснення) на подразнювачі (внутрішній подразнювач — команда собі “треба тиснути”), було вирішено використовувати відомі вигляди кривих (рис. 2.1) при моделюванні результатів виконання завдань однакової складності.

Потрібно зауважити, що швидкість розв'язування задач може змінюватися з досвідом. Тобто, якщо студент зі слабкою нервовою системою буде тренуватися виконувати завдання, то його показники з часом перейдуть на якісно новий рівень. Щодо студентів з сильною нервовою системою: швидкість не завжди означає якість виконання завдань.

Завдання системи — класифікувати студентів в автоматичному режимі, з метою подальшого надання порад викладачам практичних занять щодо підвище-



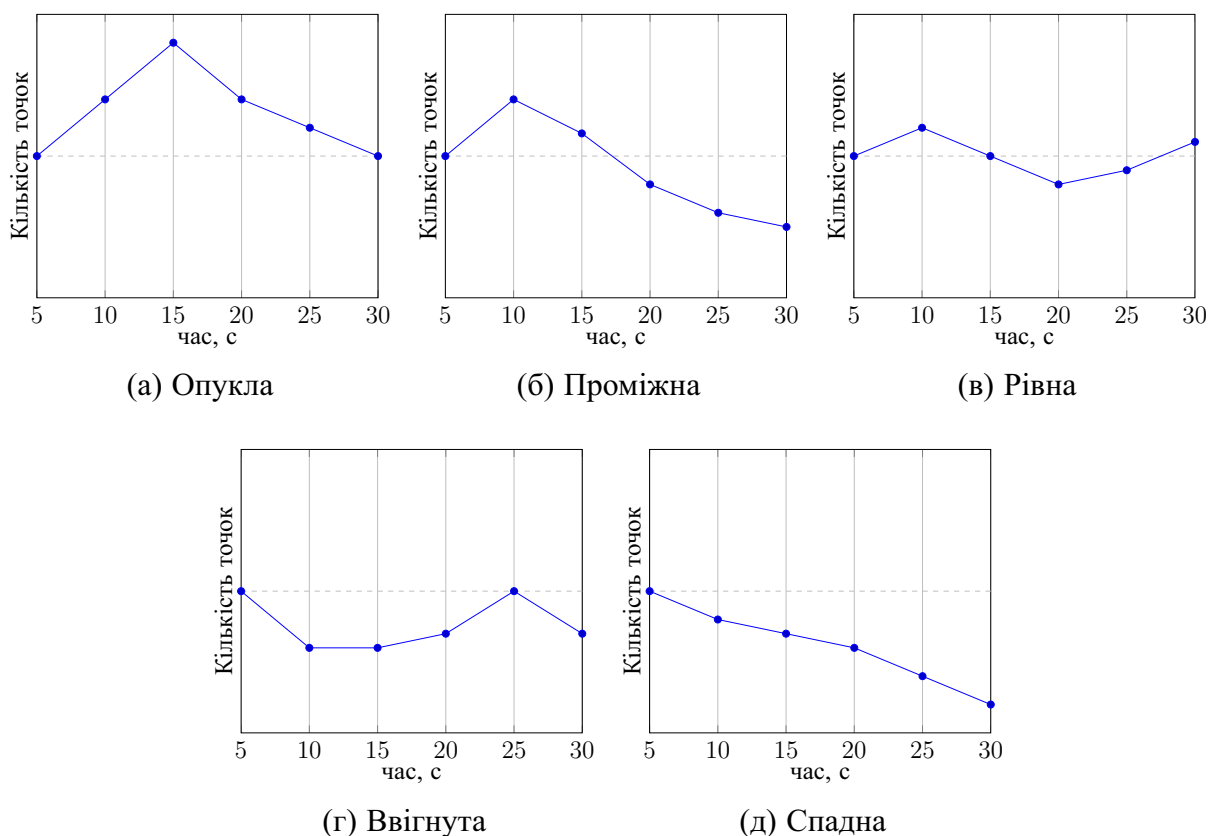


Рисунок 2.1 — Загальний вигляд залежностей кількості поставлених точок від часу. Пунктирна лінія — кількість точок в перші 5 секунд

ння продуктивності роботи кожного студента. Це полегшує знаходження індивідуального підходу. Наприклад, тим, хто надто швидко втомлюється, потрібно розв'язувати якомога більше базових завдань, що не є складними, але розв'язок яких повинен бути на рівні рефлексів. Студентам, які поспішають, буде корисно ретельно коментувати у письмовій формі хід своїх думок, щоб вгамуватися та підвищити свою уважність.

Для тесту було обрано саме 30-секундний проміжок часу, адже спочатку виміри виконувалися протягом однієї хвилини і було виявлено, що найважливіша інформація отримується протягом перших 20-25 секунд, а далі лише марно втрачається час та сили тестованого. [4]

## 2.2 Моделювання

### 2.2.1 Процес Пуассона

Щоб моделювати темп виконання студентами контрольних задач, використаємо відомі дані з психології щодо ритму виконання теппінг-тесту для людей з різними типами вищої нервової діяльності. Оскільки постукування є потоком однорідних випадкових подій, змоделюємо їх як реалізації процесу Пуассона.

Нехай  $\{N(t) | t \geq 0\}$  — процес Пуассона з інтенсивністю  $\lambda(t)$ . Маємо 7 контрольних точок на часовій вісі  $t_0 = 0, t_1 = 5, \dots, t_6 = 30$ . Введемо відрізок часу  $T$ , за який проводиться вимірювання, та проміжки  $T_i$ , на які його розбито в експерименті

$$T = (0, 30], \quad T_i = (t_{i-1}, t_i], \quad i = \overline{1, 6}$$

Нехай  $\nu_i$  визначається наступним чином

$$\nu_i = N(t_i) - N(t_{i-1}), \quad i = \overline{1, 6}$$

Тоді  $\nu_i$  — випадкова величина, що має розподіл Пуассона з параметром  $\lambda_i$ , де [5]

$$\lambda_i = m(T_i) = \int_{t_{i-1}}^{t_i} \lambda(\tau) d\tau, \quad i = \overline{1, 6}$$

Функція  $m$  — міра інтенсивності. [6]

Проміжки  $T_i$  утворюють розбиття множини  $T$ , а отже не перетинаються. Це означає, що випадкові величини  $\nu_i$  незалежні між собою, і є можливість згенерувати процес натискання за допомогою 6 незалежних випадкових величин, що мають розподіл Пуассона.

Інтенсивність (параметр  $\lambda$ ) є математичним очікуванням випадкової величини, що має розподіл Пуассона. Маючи результати реальних експериментів,

можна обчислити середні значення кількості постукувань для кожного часового проміжку  $T_i$ , а отримані результати використовувати в якості параметрів  $\lambda_i$ .

Візьмемо значення відомого експерименту з підручника [4], які зображено на рис. 2.2. Оскільки результат один, то його значення будуть середніми з вибірки, що складається з одного вектора — їх і використаємо в якості параметрів  $\lambda_i$ . На рис. 2.3а зображено різні реалізації послідовності випадкових величин, що розподілені за законом Пуассона з параметрами

$$[\lambda_1, \lambda_2, \lambda_3, \lambda_4, \lambda_5, \lambda_6] = [43, 40, 38, 37, 38, 35]$$

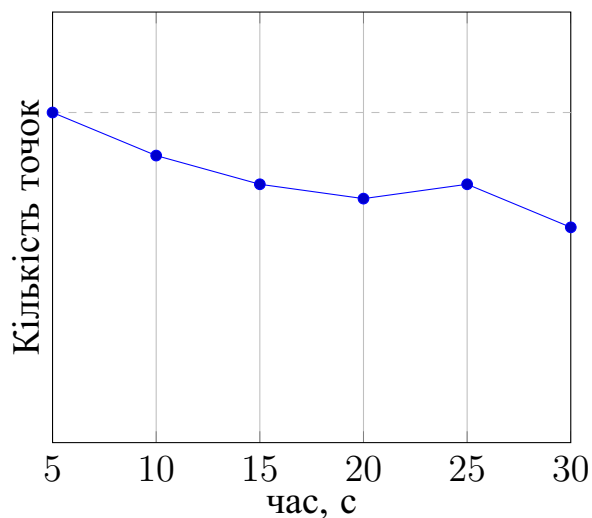


Рисунок 2.2 — Спадаюча ламана, побудована на основі даних з книги Ільїна

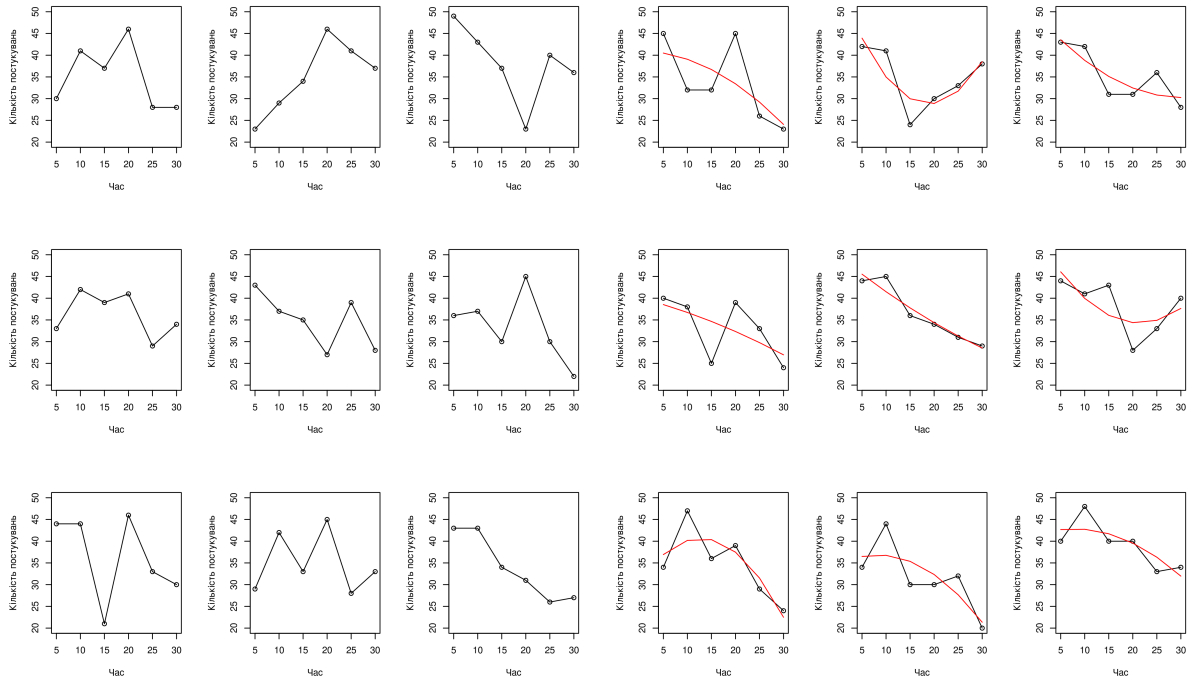
### 2.2.2 Квадратична апроксимація методом найменших квадратів

Види результуючих ламаних (опукла, ввігнута, рівна, спадна) можна представити квадратичними функціями виду

$$y(t) = a \cdot t^2 + b \cdot t + c$$

На рис. 2.3б зображено реалізації послідовності випадкових величин, що

розподілені за законом Пуассона, та криві, що є результатом апроксимації цих реалізацій.



(а) Без апроксимації

(б) З апроксимацією

Рисунок 2.3 — Приклади результатів моделювання

Щоб представити результати у вигляді квадратичних функцій, використаємо метод найменших квадратів. Нехай  $\{y_i \mid i = \overline{1, 6}\}$  — результати поточного теплінг-тесту. Суть методу полягає в знаходженні таких коефіцієнтів  $a$ ,  $b$  і  $c$ , з якими наступна величина приймає мінімальне значення

$$R^2(a, b, c) = \sum_{i=1}^6 (a \cdot t_i^2 + b \cdot t_i + c - y_i)^2$$

Для цього треба взяти часткові похідні по кожному коефіцієнту, прирівняти ці похідні до нуля та розв'язати отриману систему

$$\begin{cases} \sum_{i=1}^6 2 \cdot (a \cdot t_i^2 + b \cdot t_i + c - y_i) &= 0 \\ \sum_{i=1}^6 2 \cdot t_i \cdot (a \cdot t_i^2 + b \cdot t_i + c - y_i) &= 0 \\ \sum_{i=1}^6 2 \cdot t_i^2 \cdot (a \cdot t_i^2 + b \cdot t_i + c - y_i) &= 0 \end{cases}$$

Цю систему можна переписати в матричному вигляді наступним чином

$$\begin{bmatrix} \sum_{i=1}^6 t_i^2 & \sum_{i=1}^6 t_i & \sum_{i=1}^6 1 \\ \sum_{i=1}^6 t_i^3 & \sum_{i=1}^6 t_i^2 & \sum_{i=1}^6 t_i \\ \sum_{i=1}^6 t_i^4 & \sum_{i=1}^6 t_i^3 & \sum_{i=1}^6 t_i^2 \end{bmatrix} \cdot \begin{bmatrix} a \\ b \\ c \end{bmatrix} = \begin{bmatrix} \sum_{i=1}^6 y_i \\ \sum_{i=1}^6 y_i \cdot t_i \\ \sum_{i=1}^6 y_i \cdot t_i^2 \end{bmatrix}$$

Введемо позначення:

$$\begin{aligned} \sum_{i=1}^6 1 &= N, \\ \sum_{i=1}^6 t_i^k &= X^k, \quad k = \overline{1, 4} \\ \sum_{i=1}^6 y_i \cdot t_i^k &= YX^k, \quad k = \overline{0, 2} \end{aligned}$$

Рівняння прийняло наступний вигляд

$$\begin{bmatrix} X^2 & X & N \\ X^3 & X^2 & X \\ X^4 & X^3 & X^2 \end{bmatrix} \cdot \begin{bmatrix} a \\ b \\ c \end{bmatrix} = \begin{bmatrix} Y \\ YX \\ YX^2 \end{bmatrix}$$

Використаємо метод Крамера для розв'язання системи лінійних рівнянь. Визначник  $\Delta$

$$\begin{aligned} \Delta &= X^2 \cdot (X^2 \cdot X^2 - X \cdot X^3) - X \cdot (X^3 \cdot X^2 - X \cdot X^4) \\ &\quad + N \cdot (X^3 \cdot X^3 - X^2 \cdot X^4) \end{aligned}$$

Визначник  $\Delta_a$

$$\begin{aligned} \Delta_a &= Y \cdot (X^2 \cdot X^2 - X \cdot X^3) - YX \cdot (X \cdot X^2 - N \cdot X^3) \\ &\quad + YX^2 \cdot (X \cdot X - N \cdot X^2) \end{aligned}$$

Визначник  $\Delta_b$

$$\begin{aligned} \Delta_b &= -Y \cdot (X^3 \cdot X^2 - X \cdot X^4) + YX \cdot (X^2 \cdot X^2 - N \cdot X^4) \\ &\quad - YX^2 \cdot (X^2 \cdot X - N \cdot X^3) \end{aligned}$$

Визначник  $\Delta_c$

$$\begin{aligned}\Delta_c = Y \cdot (X^3 \cdot X^3 - X^2 \cdot X^4) - YX \cdot (X^2 \cdot X^3 - X \cdot X^4) \\ + YX^2 \cdot (X^2 \cdot X^2 - X \cdot X^3)\end{aligned}$$

Відомо, що розв'язками є наступні вирази

$$a = \frac{\Delta_a}{\Delta}, \quad b = \frac{\Delta_b}{\Delta}, \quad c = \frac{\Delta_c}{\Delta}$$

Бачимо, що параметри — лінійні комбінації  $y_i$ , а коефіцієнти при  $y_i$  — раціональні дробі. Тобто можна записати розв'язки наступним чином

$$a = \sum_{i=1}^6 y_i \cdot \frac{a_i}{\Delta}, \quad b = \sum_{i=1}^6 y_i \cdot \frac{b_i}{\Delta}, \quad c = \sum_{i=1}^6 y_i \cdot \frac{c_i}{\Delta}$$

### 2.2.3 Аналіз квадратичної апроксимації

Запишемо умови, що накладаються на  $a$ ,  $b$  і  $c$ , за яких отримана парабола відповідає раніше введеним типам вищої нервової діяльності. Введемо такі позначення:  $t_{max}$  і  $t_{min}$  — точки, в яких парабола досягає локального максимуму та мінімуму на відрізку  $[t_1, t_6]$  відповідно.  $\varepsilon = 1$  буде відповідати відхиленню від початкового значення функції, яке вважається суттєвим.  $t_1$  і  $t_6$ , як і раніше, є точками першого та останнього спостереження відповідно.

Пряма ламана весь час тримається приблизно на початковому рівні

$$\begin{cases} y(t_{max}) - y(t_1) \leq \varepsilon \\ y(t_1) - y(t_{min}) \leq \varepsilon \end{cases}$$

Спадна ламана спадає після моменту  $t_1$ , і не повертається до початкового положення

$$\begin{cases} t_{max} = t_1 \\ y(t_{max}) - y(t_{min}) > \varepsilon \end{cases}$$

Проміжна ламана спочатку зростає, потім не пізніше моменту часу  $t_3$  починає спадати нижче початкового рівня

$$\left\{ \begin{array}{l} t_2 \leq t_{max} \leq t_3 < t_{min} \\ y(t_{max}) - y(t_1) > \varepsilon \\ y(t_1) - y(t_{min}) > \varepsilon \end{array} \right.$$

Опукла ламана спочатку зростає, не пізніше моменту  $t_3$  починає спадати, а до моменту  $t_6$  повертається до початкового рівня або спадає нижче нього.

$$\left\{ \begin{array}{l} t_2 \leq t_{max} \leq t_3 < t_{min} \\ y(t_{max}) - y(t_1) > \varepsilon \\ y(t_6) \leq y(t_1) \end{array} \right.$$

## ПЕРЕЛІК ПОСИЛАНЬ

1. Айвазян, С.А. Прикладная статистика: Классификация и снижение размерности : Справочное издание / С.А. Айвазян. — Финансы и статистика, 1989.
2. *Sturges, Herbert A.* The Choice of a Class Interval / Herbert A. Sturges // *J-AM-STAT-ASSOC.* — 1926. — March. — Vol. 21, no. 153. — Pp. 65–66.
3. Павлов, И.П. Двадцатилетний опыт объективного изучения высшей деятельности (поведения) животных / И.П. Павлов. — Государственное издательство Москва-Петроград, 1923.
4. Ильин, Е.П. Дифференциальная психофизиология / Е.П. Ильин. Серия Учебник нового века. — Питер, 2001.
5. Булинский, А.В. Теория случайных процессов / А.В. Булинский, А.Н. Ширяев. Теория вероятностей. Математическая статистика : ТВМС. — Физматлит, 2003. <https://books.google.com.ua/books?id=4uihGwAACAAJ>.
6. *Kingman, J.F.C.* Poisson Processes / J.F.C. Kingman. Oxford studies in probability. — Clarendon Press, 1992. <https://books.google.com.ua/books?id=VEiM-OtwDHkC>.



## Додаток А

## Лістинг коду програми, яка моделює результати теплінг-тесту

```

1  library(NHPoisson)
2  wideScreen();
3  # Read command line arguments
4  args <- commandArgs(TRUE);
5  displayApproximation <- FALSE;
6  if (length(args) > 0 && args[1] == "approximation") {
7      displayApproximation <- TRUE;
8  }
9  # Init cells for charts
10 n <- 3;
11 m <- 3;
12 png('output.png', width=18, height=22, units="cm", res=300);
13 par(mfrow=c(n,m));
14 # Parameters
15 time <- seq(5, 30, 5);
16 sample.size = length(time);
17 lambda.default = c(40, 38, 36, 34, 32, 30, 0);
18 # Fill every cell
19 for (i in 1:(n*m)) {
20     # Generate non-homogeneous Poisson process
21     aux <- simNHP.fun(lambda=lambda.default);
22     # Calculate number of events in every time interval (we have sample.size of them)
23     cur <- unlist((Map(function(x) length(aux$posNH[aux$posNH==x]), 1:(sample.size))));
24     # Calculate approximation
25     model <- lm(cur ~ poly(time, 2, raw=TRUE));
26     predictedcounts <- predict(model);
27     # Plot
28     plot(time, cur, xlab="Час", ylab="Кількість постукувань", ylim=c(20,50));
29     lines(time, cur);
30     if (displayApproximation) {
31         lines(time, predictedcounts, col='red');
32     }
33 }
34 dev.off();

```